血液系统疾病实验室研究专题・临床探讨

DOI: 10. 3969/j. issn. 1672-9455. 2021. 13. 004

UFC1 在弥漫大 B 细胞淋巴瘤中的表达及意义*

田祖国,高 陆,翁春岚,刘水玉 遵义医科大学附属医院血液内科,贵州遵义 563003

摘 要:目的 研究 UFC1 在弥漫大 B细胞淋巴瘤(DLBCL)患者中的表达情况,分析 UFC1 表达与 DLBCL 患者的临床特征及预后的相关性。方法 利用在线数据库 GEPIA 及 Oncomine 研究 UFC1 在恶性肿瘤和淋巴瘤中的表达;收集 40 例 DLCBL 患者组织标本作为 DLBCL 组,以 20 例反应性淋巴结炎患者组织标本为对照组,采用免疫组化法检测其 UFC1 的表达,分析 UFC1 表达与 DLBCL 患者的临床病理特征相关性,并应用 GEO 数据集分析 UFC1 表达与 DLBCL 生存预后关系;应用通路数据库检测 UFC1 相互作用基因。结果 数据库分析显示,UFC1 在 DLBCL 等多种肿瘤中异常高表达;免疫组化结果显示,UFC1 表达阳性率在 DLBCL 患者中明显高于反应性淋巴结炎患者(P<0.001),进展期 DLBCL 患者 UFC1 表达阳性率明显高于局限期患者(P=0.047);高表达 UFC1 的 DLBCL 患者总生存期较短(P=0.009),UFC1 与多种肿瘤基因存在相互作用。结论 UFC1 在 DLBCL 中异常高表达,并与 DLBCL 患者预后不良相关。

关键词:UFC1; 弥漫大B细胞淋巴瘤; 免疫组化; 数据库

中图法分类号:R733.4

文献标志码:A

文章编号:1672-9455(2021)13-1836-04

弥漫大B细胞淋巴瘤(DLBCL)是非霍奇金淋巴瘤最常见的类型,占所有非霍奇金淋巴瘤的35%~40%,由于DLBCL在临床、分子遗传学及免疫表型等方面具有高度异质性,现阶段临床上主要行化疗,虽然化疗的有效性较高,但化疗的敏感性会影响总体效果,远期预后不佳[1-2]。寻找与DLBCL发生、发展有关的生物标志物对DLBCL的早期诊断及治疗具有重要意义。研究发现,类泛素蛋白与恶性肿瘤,包括血液系统恶性肿瘤的发生、发展密切相关[3]。UFC1是一个新鉴定的类似泛素结合酶E2,属于类泛素Ufm1修饰系统(Ufm1)[4-5]。而UFC1在DLBCL中的表达情况鲜见相关研究报道。本研究拟研究UFC1在DLBCL中的表达情况,探讨其在DLBCL论疗中可能的价值。现报道如下。

1 资料与方法

- 1.1 一般资料 收集 2012 年 1 月至 2015 年 1 月于 遵义医科大学附属医院 40 例 DLBCL 患者石蜡标本 作为 DLBCL 组,以 20 例反应性淋巴结炎患者石蜡标本作为对照组。收集 40 例 DLBCL 患者的临床特征 资料,包括患者年龄、性别、国际预后指数(IPI)评分、Ann Arbor分期、美国东部肿瘤协作组(ECOG)评分、结外受累数目、B 症状、血清乳酸脱氢酶(LDH)、BCL-2 蛋白、Ki-67 水平等。
- 1.2 方法 采用 En Vision 法进行免疫组化染色[试剂: Anti-UFC1 抗体(Abcam 公司,货号 ab189252); 免疫显色试剂盒 EnVision™FLEX+、Mouse、High-pH(DAKO K800211)等]。结果判定标准采用免疫

风险得分(IRS)评分方法,对阳性细胞的数量及染色强度进行综合评分,以两者相加后的总分进行结果判定,>4分为阳性,≤4分为阴性。结果由2名病理科医师双盲法读片判断。

- 1.3 在线数据库分析 UFC1 在肿瘤中的表达 GE-PIA 数据库^[6] (http://gepia. cancer-pku. cn/index. html)是由北京大学基于 TCGA 和 GTEx 数据库建立的在线分析数据库,包含 9 736 份肿瘤组织标本和 8 587 份正常组织标本。Oncomine 数据库^[7] (https://www.oncomine.org/resource/main. html)已经收集了 715 个数据集的 86 733 份标本的基因表达数据,整合了 GEO、TCGA 和已发表的文献等来源的 RNA 和 DNA-seq 数据。两个数据库均可用于分析基因表达差异、预测共表达基因等,本研究利用 GE-PIA 及 Oncomine 数据库分析 UFC1 在多种类型肿瘤及 DLBCL 中的表达。
- 1.4 GEO 数据库 GEO 数据库^[8] (http://www.ncbi. nlm. nih. gov/geo/)是一个国际公共数据库,用于存储高通量和二代测序基因组数据集,可提供一些基于网络的工具和策略来帮助用户查询、分析和可视化数据。GSE10846^[7] 数据集中收录了 181 例采用CHOP方案化疗的 DLBCL 患者基因表达谱及 DLBCL 患者随访、生存时间等临床信息。本研究根据这181 例患者的 UFC1 表达均值将其分为高表达组和低表达组,分析 UFC1 基因表达与 DLBCL 患者生存的关系。
- 1.5 Pathway Commons 数据库 Pathway Com-

基金项目:贵州省遵义市科技局基金项目[遵汇科合(2016)20号];北京医卫健康公益基金会基金项目(B17484)。
本文引用格式:田祖国,高陆,翁春岚,等. UFC1 在弥漫大 B 细胞淋巴瘤中的表达及意义[J]. 检验医学与临床,2021,18(13):1836-1838.

mons 数据库^[9](http://www.pathwaycommons.org)是公开应用的通路数据库,能够浏览并搜索来自多个来源的基因通路信息。当前包含了来自9个数据库(超过1400个通路和687000个相互作用的数据),本研究利用Pathway Commons数据库研究与UFC1具有相互作用的相关基因。

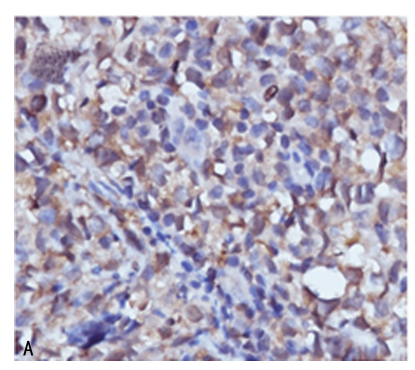
1.6 统计学处理 采用 SPSS17.0 软件对数据进行数据处理及统计分析,组间比较采用 χ^2 检验;GEO数据生存数据应用 Gramphpadprism 8.1 进行生存分析,以 P < 0.05 表示差异有统计学意义。

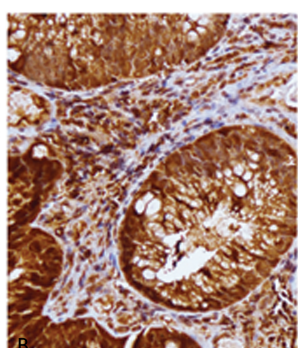
2 结 果

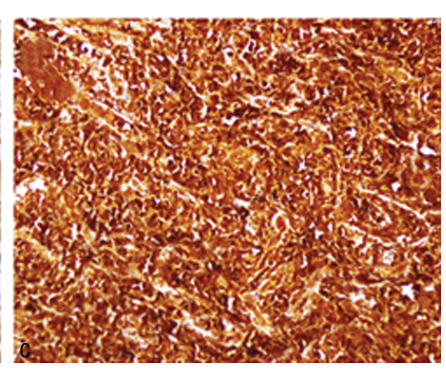
2.1 肿瘤数据库中 UFC1 的表达 GEPIA 数据库分析显示, UFC1 在 DLBCL、肝细胞癌(LIHC)、胸腺

瘤(THYM)及胆管癌(CHOL)中均呈高表达(P < 0.01),而在肾嫌色细胞癌(KICH)中呈低表达;Oncomine 数据库显示,UFC1 在 DLBCL、膀胱癌、乳腺癌、肝癌、黑色素瘤及白血病中存在明显高表达;而 Oncomine 数据库进一步分析显示,UFC1 在 DLBCL 中表达明显升高,其中以活化 B 细胞型 DLBCL 中UFC1 高表达更明显。

- 2.2 UFC1 的染色表现 在反应性淋巴结炎组织中 UFC1 染色强度镜下表现见图 1。
- **2.3** UFC1 的组织表达 40 例 DLBCL 组织中有 37 例 UFC1 表达阳性,20 例反应性淋巴结炎组织中有 5 例 UFC1 蛋白表达阳性,差异有统计学意义(P<0.001)。







注:A为UFC11分;B为UFC12分;C为UFC13分。

图 1 UFC1 在反应性淋巴结炎组织中的表达(\times 200)

2.4 UFC1 表达与 DLBCL 患者临床特征的关系 对纳入的 DLBCL 患者的 UFC1 表达与其临床特征进行分析,发现进展期(Π 、 \mathbb{N} 期) DLBCL 患者 UFC1 蛋白表达阳性率明显高于局限期(Π 、 Π 期) 患者(P=0.047);而 UFC1 表达阳性率在不同年龄、性别、 Π 1 评分、ECOG 评分、结外受累数目、B症状、LDH、BCL-2蛋白、Ki-67 水平患者间差异无统计学意义(P>0.05)。见表 1。

表 1 UFC1 表达与 DLBCL 患者临床特征的关系[n(%)]

临床特征	n —	UFC1 表达		D
		阴性	阳性	- P
年龄(岁)	_			0.170
≥60	19	3(7.5)	16(40.0)	
<60	21	0(0.0)	21(52.5)	
性别				
男	27	3(7.5)	24(60.0)	0.314
女	13	0(0.0)	13(32.5)	
Ann Arbor 分期				
I、Ⅱ期	9	2(5.0)	7(17.5)	0.047
Ⅲ、Ⅳ期	31	1(2.5)	30(75)	
B症状				
有	17	2(5.0)	15(37.5)	0.820
无	23	1(2.5)	22(55.0)	
ECOG 评分(分)				

续表 1 UFC1 表达与 DLBCL 患者临床特征的关系[n(%)]

临床特征	n —	UFC1 表达		D
		阴性	阳性	- P
<2	26	2(5.0)	24(60.0)	0.630
≥2	14	1(2.5)	13(32.5)	
IPI 评分				
低危	10	0(0.0)	10(25.0)	0.320
低中危	15	1(2.5)	14(35.0)	
中高危	13	1(2.5)	12(30.0)	
高危	2	0(0.0)	2(5.0)	
LDH(U/L)				
<271	25	1(2.5)	24(60.0)	0.700
≥271	15	2(5.0)	13(32.5)	
结外器官受累				
有	22	2(5.0)	14(35.0)	0.760
无	18	1(2.5)	23(57.5)	
BCL-6 表达				
阳性	22	1(2.5)	21(52.5)	0.880
阴性	18	2(5.0)	16(40.0)	
BCL-2 表达				
阳性	10	2(5.0)	9(22.5)	0.460
阴性	30	1(2.5)	28(70.0)	
Ki-67(%)				
<60	15	1(2.5)	14(35.0)	0.090
≥60	25	2(5.0)	23(57.5)	

2.5 UFC1 表达与 DLBCL 生存预后关系 根据 GEO 数据库资料分析显示, UFC1 高表达的 DLBCL 患者总生存期更短(P=0.009), 见图 2。

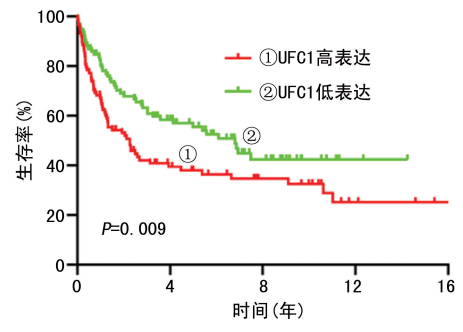


图 2 UFC1 表达与 DLBCL 患者生存预后关系

2.6 UFC1 调控网络分析 Pathway Commons 数据库分析显示,UFC1 与 24 种其他基因存在相互作用关系,包括 AR、ATP6V1F、CLNS1A、KIRREL3、LDHB、LYPLA2、NEDD8、OGA、RPS27A、STAT 1、TCF3、TYMS、UBA3、UBA5、UBA52、UBB、UBC、UNK、USP9X、VCL、VHL、WDYHV1、YKT6、ZFYVE19。

3 讨 论

DLBCL是非霍奇金淋巴瘤中最常见的类型,无论在形态学还是临床特征上,DLBCL都具有明显的异质性,有相当一部分DLBCL患者治疗效果不佳,患者的生存期存在明显差异。研究DLBCL可能的发病机制对于DLBCL的诊断、治疗及预后判断均有积极的临床意义。泛素-蛋白酶体系统(UPS)介导细胞内泛素化的蛋白质经蛋白酶体降解,可高效并高选择性地降解细胞内蛋白质,如细胞周期调节蛋白、癌基因和抑癌基因产物及变性变构蛋白等[10]。继泛素在20世纪70年代中期被发现后,与泛素类似的小蛋白家族不断被报道,并被称为泛素样蛋白(UBLs),其成员不断增加。目前已经鉴定出9大类17种的类泛素蛋白,包括NEDD8、SUMO、ISG15、FUB1、FAT10、Atg8、Atg12、Urm1和UFM1[4]。

UFC1 是一个新鉴定的类似泛素结合酶 E2,在人体定位于 1 号染色体上。Ufm1 首先被 Uba5(E1)激活,然后被转移给 Ufc1(E2),再被转移给 Ufl1(E3),最后共价结合到靶蛋白上。目前发现的靶蛋白有C20orf116^[11]、CDK5RAP3/LZAP^[12]。有研究发现,与正常组织和细胞系相比,UFC1 在乳腺癌组织和细胞系中呈高表达^[13]。沉默的 UFC1 抑制了乳腺癌细胞的多种生物学活性,而乳腺癌细胞也起着 miR-34a海绵的作用 LncRNA,UFC1 通过 miR-34a/CXCL10轴调控乳腺癌的生物学活性,为乳腺癌提供了新的诊断标志物和潜在的治疗靶标^[14]。有研究以 UFC1 基因为对象,结果显示,在正常的 HBL100 乳腺细胞系中的 mRNA 表达最低,而在乳腺癌细胞系 MCF7、MDA-MB231、MDA-MB-453 中的表达明显增强,并

且在乳腺癌细胞系 MDA-MB-453 中的表达最强; Western-blot 检测结果也显示,在乳腺癌组织中UFC1 基因的表达明显高于正常乳腺组织,其表达量的不同,提示 UFC1 基因与乳腺癌的发生和发展有着密切关系^[15-17]。

本研究首先应用在线数据库分析 UFC1 的表达, 显示其在多种恶性肿瘤中均有异常的高表达,其与肿 瘤有较为密切的关系。并且两个数据库均证实 UFC1 在 DLBCL 中也呈明显的高表达,提示其与 DLBCL 的发病可能存在相关性。进一步将纳入的标本采用 免疫组化检测,证实在 DLBCL 患者标本中 UFC1 表 达明显高于反应性淋巴结炎患者标本。将 DLBCL 患 者的临床特征进行分析,发现进展期(Ⅲ、IV期)DL-BCL 患者 UFC1 表达明显高于局限期(Ⅰ、Ⅱ期)DL-BCL 患者,而 DLBCL 患者的临床分期可能影响患者 的临床预后。因本研究队列病例数较少,随访脱落数 据偏多,笔者选择 GEO 数据库中包含 DLBCL 长期随 访数据的 GSE10846 数据集分析 UFC1 表达与 DL-BCL 生存预后关系,结果显示,UFC1 高表达的 DL-BCL 患者总生存期更短。在 Pathway Commons 数 据库中检索 UFC1 基因,发现其与多种肿瘤基因均存 在相互作用关系,比如 NEDD8 与淋巴瘤密切相关,其 作为淋巴瘤治疗靶点已初步取得了临床效果[18]。由 此推测 UFC1 可能与多种肿瘤机制相关。

综上所述, UFC1 在 DLBCL 患者中呈异常高表达, UFC1 的异常高表达与 DLBCL 较晚分期等存在相关性,并提示 UFC1 高表达的 DLBCL 患者可能存在不良预后。UFC1 在多种肿瘤中异常表达,并且与多种肿瘤基因存在相互作用的可能,其深入的作用机制有待未来的进一步研究。

参考文献

- [1] 中华人民共和国国家卫生健康委员会. 淋巴瘤诊疗规范 (2018 年版) [J/CD]. 肿瘤综合治疗电子杂志, 2019, 5 (4):50-71.
- [2] CROMBIE J L, ARMAND P. Diffuse large B-Cell lymphoma and high-grade B-Cell lymphoma: genetic classification and its implications for prognosis and treatment [J]. Surg Oncol Clin N Am, 2020, 29(1):115-125.
- [3] 黄禾菁,侯健.SUMO 化修饰与血液系统疾病[J].中国实验血液学杂志,2013,21(1):218-221.
- [4] ZHANG X, LIANG W, LIU J, et al. Long non-coding RNA UFC1 promotes gastric cancer progression by regulating miR-498/Lin28b[J]. J Exp Clin Cancer Res, 2018, 37(1):134-142.
- [5] 贺爱兰,彭东海,吴小玲,等. 泛素结合酶 UFCl 基因的荧光表达载体构建[J]. 现代农业科技,2011,40(8):23-24.
- [6] TANG Z,LI C,KANG B,et al. GEPIA:a web server for cancer and normal gene (下转第 1842 页)

958.

- [3] WANG X D, ZHENG M, LOU H F, et al. An increased prevalence of self-reported allergic rhinitis in major Chinese cities from 2005 to 2011[J]. Allergy, 2016, 71(8): 1170-1180.
- [4] 中华耳鼻咽喉头颈外科杂志编辑委员会鼻科组,中华医学会耳鼻咽喉头颈外科学分会鼻科学组.变应性鼻炎诊断和治疗指南(2015年,天津)[J].中华耳鼻咽喉头颈外科杂志,2016,51(1):6-24.
- [5] SEIDMAN M D, GURGEL R K, LIN S Y, et al. Clinical practice guideline: allergic rhinitis [J]. Otolaryngol Head Neck Surg, 2015, 152(S1): S1-S43.
- [6] 叶惠英,韩珊珊,柯琴剑.1 252 例过敏性疾病患者血清过敏原检测与分析[J].实用预防医学,2016,23(4):462-464
- [7] LOU H, MA S, ZHAO Y, et al. Sensitization patterns and minimum screening panels for aeroallergens in self-reported allergic rhinitis in China [J]. Sci Rep, 2017, 7(1): 9286.
- [8] BOUSQUET J, SCHÜNEMANN H J, SAMOLINSKI B, et al. Allergic rhinitis and its impact on asthma (ARIA): achievements in 10 years and future needs[J]. J Allerg Clin Immunol, 2012, 130(5): 1049-1062.
- [9] CINGI C, CAKLI H, MIMAN O, et al. Correlation of environmental mite levels and the symptoms of allergic rhinitis regarding the efficacy of preventive education[J]. Allergol Immunopathol (Madr), 2007, 35(6):243-247.

- [10] 秦晓燕,郭广宏,康慧媛,等.北京地区变应性鼻炎患者血清总 IgE 及 sIgE 结果分析[J]. 标记免疫分析与临床, 2020,27(5):741-745.
- [11] 王洁,王蓓,朱晶,等. 西北地区 1 270 例儿童变应原检测 结果分析[J]. 陕西医学杂志,2020,49(6):699-703.
- [12] 孟亚萍, 維红霞, 韩海阳, 等. 太原地区 1827 例变应性鼻炎患者变应原检测分析[J]. 中国耳鼻咽喉头颈外科, 2020, 27(4):196.
- [13] 杨蕊,邹游,谯月龙,等.武汉地区 1 507 例变应性鼻炎患者吸入性变应原特征分析[J].临床耳鼻咽喉头颈外科杂志,2019,33(3):267-271.
- [14] 邵婵,何雪梅,魏庆宇. 艾蒿花粉过敏患者呼出一氧化氮及肺功能相关性研究[J]. 中国耳鼻咽喉头颈外科,2019,26(1):45.
- [15] 李欣,孙璐,李同丽,等. 太原地区变应性鼻炎患者吸入性变应原分布特点[J]. 中国耳鼻咽喉头颈外科,2018,25 (10):550-552.
- [16] 李伟,江晶. 安庆地区变应性鼻炎变应原调查分析[J]. 中国中西医结合耳鼻咽喉科杂志,2020,28(1):29-32.
- [17] 邓月,张健,程寅,等.上海地区变应性鼻炎患者变应原特征分析[J].第二军医大学学报,2020,41(10):1062-1067.
- [18] ERIKSSON J, BJERG A, LÖTVALL J, et al. Rhinitis phenotypes correlate with different symptom presentation and risk factor patterns of asthma[J]. Respir Med, 2011,105(11):1611-1621.

(收稿日期:2020-08-26 修回日期:2021-02-15)

(上接第 1838 页)

expression profiling and interactive analyses[J]. Nucleic Acids Res, 2017, 45(W1); W98-W102.

- [7] RHODES D R, YU J, SHANKER K, et al. ONCOMINE: a cancer microarray database and integrated data-mining platform[J]. Neoplasia, 2004, 6(1):1-6.
- [8] BARRETT T, WILHITE SE, LEDOUX PA, et al. NCBI GEO: archive for functional genomics data sets-update [J]. Nucleic Acids Res, 2013, 41(D1): D991-D995.
- [9] RODCHENKOV I,BABUR O,LUNA A, et al. Pathway Commons 2019 Update: integration, analysis and exploration of pathway data [J]. Nucleic Acids Res, 2020, 48 (D1):D489-D497.
- [10] RUIZ-VELA A, AGGARWAL M, DE LA CUEVA P, et al. Lentiviral (HIV)-based RNA interference screen in human B-cell receptor regulatory networks reveals MCL1-induced oncogenic pathways[J]. Blood, 2008, 111 (3):1665-1676.
- [11] 倪晓光,赵平. 泛素-蛋白酶体途径与恶性肿瘤关系的研究进展[J]. 中华肿瘤防治杂志,2007,14(19):1512-1515.
- [12] TATSUMI K, SOU Y S, TADA N, et al. A novel type of E3 ligase for the Ufm1 conjugation system [J]. J Biol

Chem, 2010, 285(8): 5417-5427.

- [13] LEMAIRE K, MOURA R F, GRANVIK M, et al. Ubiquitin fold modifier 1 (UFM1) and its target UFBP1 protect pancreatic beta cells from ER stress-induced apoptosis[J]. PLoS One, 2011, 6(4); e18517.
- [14] XIE R, WANG M, ZHOU W T, et al. Long Non-Coding RNA (LncRNA) UFC1/miR-34a contributes to proliferation and migration in breast cancer[J]. Med Sci Monit, 2019,25(25):7149-7157.
- [15] 贺爱兰,吴小玲,张波. UFC1 基因在乳腺癌细胞中的表达及意义[J]. 长沙大学学报,2011,25(2):75-77.
- [16] 贺爱兰,张梦成,彭东海. UFCI 基因在乳腺细胞系中的表达分析[J]. 湖南人文科技学院学报,2011,28(2):79-81.
- [17] 贺爱兰,张波,刘如石. UFC1 基因在乳腺癌和正常乳腺组织中的表达[J]. 湖南师范大学自然科学学报,2011,34 (3):69-72.
- [18] ASSUMPÇÀO A, LU Z, MARLOWE K W, et al. Targeting NEDD8-activating enzyme is a new approach to treat canine diffuse large B-cell lymphoma[J]. Vet Comp Oncol, 2018, 16(4):606-615.

(收稿日期:2020-10-16 修回日期:2021-03-09)